



# POLİANİLİNE VE POLİPIROL KAPLANAN PAMUKLU KUMAŞLARIN ELEKTROMANYETİK KORUYUCULUK VE İLETKENLİK ÖZELLİKLERİ

Aysun AKŞİT, Nurhan ONAR

Dokuz Eylül Üniversitesi, Mühendislik Fakültesi,

Tekstil Mühendisliği Bölümü

İşıl KAYATEKİN, M.Faruk EBEOĞLUGİL, Erdal ÇELİK, İsmail ÖZDEMİR

Dokuz Eylül Üniversitesi, Mühendislik Fakültesi,

Malzeme ve Metalürji Mühendisliği Bölümü

## ÖZET

Bu çalışmada polianilin ve polipirol ile kaplanan pamuklu kumaşların iletkenlik, dielektrik ve elektromanyetik özellikleri karakterize edilmiş ve karşılaştırılmıştır. Bu amaç için anilin ve pirol monomer olarak kullanılmış ve kimyasal oksidatif polimerizasyon yöntemi ile pamuklu kumaş üzerinde in-situ polimerizasyon gerçekleştirilmiştir. İletken polimerler ile yapılan kaplamalar pamuklu kumaşa  $10^{-2}$  S/cm mertebesinde iletkenlik sağlamıştır. Ortalama elektromanyetik koruma etkinliği ve ortalama absorpsiyon değerleri sırasıyla polianilin için 3,8 dB ve %48 ve polipirol için 6 dB ve %50 olarak tespit edilmiştir. Sonuç olarak polianilin ve polipirol ile kaplanan kumaşların iletkenlik ve elektromanyetik koruyuculuk özellikleri arasında büyük farklılık görülmemiştir.

**Anahtar Sözcükler :** İletken polimerler, kimyasal oksidatif polimerizasyon, pamuklu kumaş, elektromanyetik koruma etkinliği

## ELECTROMAGNETIC SHIELDING AND CONDUCTIVITY PROPERTIES OF POLYANILINE AND POLYPYRROLE COATED COTTON FABRIC

## ABSTRACT

In the study, the conductivity, dielectric and electromagnetic properties of cotton fabrics coated with polyaniline and polypyrrole were characterized and compared. For the aims, anilin and pyrrole were used as monomer and in-situ polymerization on cotton fabric by chemical oxidative polymerization was carried out. The cotton fabric coated conductive polymers achieved electrical conductivity of  $10^{-2}$  S/cm. Average electromagnetic shielding efficiency and average absorption values of polyaniline were respectively 3.8 dB and 48% and these values of polypyrrole were respectively 6 dB and 50 %. Consequently, we did not observed the significant difference between the values of conductivity, dielectric parameters and electromagnetic parameters of polyaniline and polypyrrole coated fabrics.

**Keywords :**Conductive polymers, chemical oxidative polymerization, cotton fabric, electromagnetic shielding efficiency

## 1. GİRİŞ

Hideki Shirakawa, Alan MacDiarmid ve Alan Heeger iletken polimerlerin keşif ve gelişimi ile kimya alanında 2000 yılı Nobel Ödülü almıştır [1]. O günden günümüze iletken polimerler yoğun olarak araştırılmaktadır. En yaygın olarak araştırılan iletken polimerler polianilin, polipirol, politiofen gibi polimerlerdir. Polianilin (PAni) ve polipirol (PPy) eşsiz elektrokimyasal özellikleri, yüksek iletkenlikleri, kolay sentez ve ısıl, çevresel ve kimyasal etkilere dayanıklılık bakımından avantaj sağlamaktadır. Fakat endüstriyel uygulamalarda düşük işlenebilirlik ve düşük mekanik özellikleri sorun yaratmaktadır. Yalnız materyallerin iletkenlikleri  $10^{12}$  S/cm iken, bu polimerleri iletkenlikleri  $10^5$  ve  $10^2$  S/cm arasındadır [2]. İletken polimerlerle kaplama için elektrokimyasal polimerizasyon, kimyasal polimerizasyon, aşılama polimerizasyon, plazma polimerizasyon gibi farklı yöntemler kullanılmaktadır. İletken polimerler iletken kaplamalar, şarjedilebilir piller, ışık emisyon diyoqları, gaz sensörleri elektrokromik akıllı pencereler, elektromanyetik koruyucu malzemeler, antistatik uygulamalar gibi çok çeşitli kullanım alanlarına sahiptir [3]. Uzay teknolojisi, navigasyon, telekomünikasyon, uçak teknolojisi, elektronik araçların ve kablosuz sistemlerin hızla çoğalması birkaç yılda elektromanyetik müdahalelerin zararlarını ve elektromanyetik kirliliği artırmıştır [4]. Elektromanyetik dalgaların yarattığı diğer önemli problem ise sağlığa zararlarıdır. Dünya sağlık organizasyonu (WHO) çevredeki yoğun elektromanyetik dalgaların biyolojik etkilerinin bulunduğu ileri sürmektedir [5]. Dolayısıyla iletken polimerler elektromanyetik korumada, elektromanyetik yük dağıtımında ve görünümezlik teknolojilerinde önem kazanmıştır [4]. Ayrıca tekstil materyalleri de esneklik özellikleri ile çeşitli kullanım alanlarında avantaj sağlamaktadır.

Dhawan ve ark. 8-12 GHz frekans bölgesinde PAni kaplanan kumaşların (-3dB)-(-11dB) koruma etkinliğine sahip olduğunu bulmuşlardır [6]. Dhawan ve ark. başka bir çalışmada PAni kaplanan silika kumaşın ve poliester kumaşın 101 GHz frekansta 35 dB ve 21 dB koruma etkinliği gösterdiğini tespit etmişlerdir [7]. Marchant ve ark. PPy kaplanan E-tipi cam kumaşın 2-18 GHz bölgesinde en yüksek refleksiyon kaybını -13 dB olarak tespit etmişlerdir [8]. Hakansson ve ark. PPy kaplanan pamuklu kumaşın 1-18 GHz frekansındaki koruma etkinliğini -8.68 dB olarak bulmuşlardır [9]. Kim ve ark. kimyasal ve elektrokimyasal yöntem ile PPy kaplanan poliester kumaşın 1,5 GHz frekansa kadar geniş bir frekans

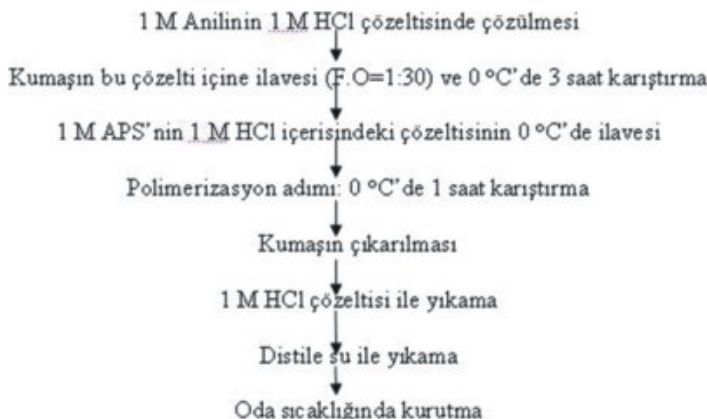
bölgesinde koruma etkinliğini 36 dB olarak bulmuşlardır [10].

Bu çalışmada, pamuklu kumaş PAni ve PPy polimerleri ile kimyasal oksidatif polimerizasyon yöntemi ile kaplanmıştır. Kaplanan kumaşların ve ham kumaşın, elektromanyetik özellikleri, iletkenlik ve dielektrik özellikleri ölçülmüştür. Ayrıca FTIR (Fourier Transform Infra-red Spektroskopisi) ve XRD (X-Işınları Difraktometresi) analizi ile kumaşların yapı analizi gerçekleştirılmıştır. Ayrıca UV geçirgenlik, mukavemet ve renk hashıkları gibi çeşitli tekstil özellikleri incelenmiştir.

## 2. MATERİYAL VE METOD

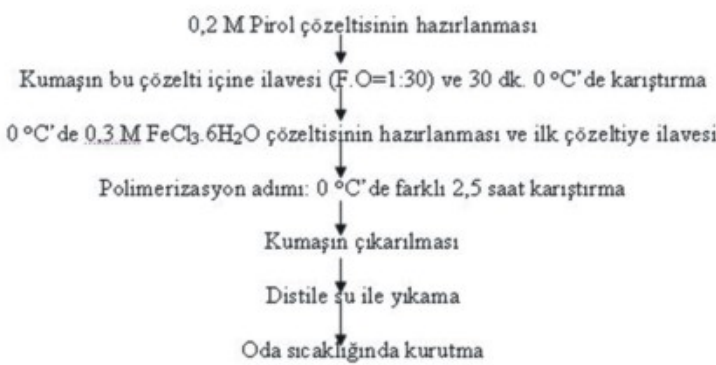
Anilin ve pirol monomerlerinin polimerizasyonu kimyasal oksidatif polimerizasyon yöntemi ile gerçekleştirilmiştir. Bu amaç için anilin ( $C_6H_5NH_2$ ) ve pirol ( $C_4H_4NH$ ) monomer olarak, amonyum persülfat (APS,  $(NH_4)_2S_2O_8$ ) ve demir klorür ( $FeC_{12} \cdot 6H_2O$ ) oksidatif madde olarak, hidroklorik asit proton dopantı olarak (anilin polimerizasyonu için) olarak kullanılmıştır. Haşlı sökülmüş, kasarlanmış ve ağartılmış 20/10 kanvas kumaş ( $239\text{ g/m}^2$ , 22 tel/cm çözgü sıklığı, 22 tel/cm atkı sıklığı) üzerinde kaplamalar gerçekleştirılmıştır.

Anilin monomerinin kumaş üzerinde in-situ polimerizasyonu için ilk olarak 1 M anilin monomeri 1 M hidroklorik asit çözeltisinde çözülmüştür. Bu çözeltinin pH değeri ölçülmüş ve pH:3,62 olarak bulunmuştur. Bu çözeltiye pamuklu kumaş daldırılmıştır. Flotte oranı 1:30 olarak çalışılmıştır. Kumaşların daldırılmış olduğu çözelti 3 saat  $0^\circ C$ 'de su-buz banyosu içinde karıştırılarak bekletilmiştir. Daha sonra bu kumaşlara  $0^\circ C$ 'ye soğutulmuş 1 M amonyum persülfatın (APS) 1 M HCl içindeki çözeltisi damlatarak ilave edilmiştir. Bu karışımın pH değeri pH:0,15 olarak ölçülmüştür. Anilin ve oksidantın çözeltideki son konsantrasyonu 0,5 M'dır. Bu çözelti ile kumaşlar 1 saat  $0^\circ C$ 'de su-buz banyosu içinde muamele edilmiştir. Polimerizasyon tamamlandıktan sonra kumaşlar çıkarılmış, reaksiyona girmeyen monomer ve aşırı amonyum persülfatı uzaklaştırılmıştır. Daha sonra aşırı HCl moleküllerini uzaklaştırmak için eşit hacimde distile su ile yıkılmış ve oda sıcaklığında kurutulmuştur. Emeraldin yeşili renginde kumaşlar elde edilmiştir. PAni ile kumaşın kaplanması işlemi şematik olarak Şekil 1'de gösterilmiştir. Ayrıca çözeltideki PAni çökeltileri  $12\text{ }\mu\text{m}$  gözenek çapına sahip filtre kağıdından (Whatsman) filtre edilmiş, 1 M HCl çözeltisi ile yıkılmış ve renksiz bir çözelti elde edilene kadar metanol ile yıkılmıştır. Bu tozlar  $50^\circ C$ 'de 24 saat etüvde kurutulmuştur [11].



Şekil 1. PAni polimeri ile pamuklu kumaşın kaplanması için işlem akışı

Pirol monomerinin kumaş üzerinde in-situ polimerizasyonu için ilk olarak 0,2 M pirol distile su içerisinde çözülmüştür. Bu çözeltinin pH değeri ölçülmüş ve pH:5 olarak bulunmuştur. Bu çözelti içerisinde kumaş ilave edilmiştir. Karışım 30 dk. 0-5°C su-buz banyosunda karıştırılmıştır. Aynı olarak 0,3 M FeCl<sub>3</sub>.6H<sub>2</sub>O aynı hacimde distile su içerisinde çözülmüştür. Bu çözelti 30 dk. sonrasında ilk karışma ilave edilmiştir. Bu karışımın pH değeri pH:1,37 olarak ölçülmüştür. 0-5°C'de karıştırma işlemine 2,5 saat devam edilmiştir. 1:30 flotte oranında çalışılmıştır. Her iki karışım eşit hacimlerde hazırlanmış için, son çözeltide pirol ve FeCl<sub>3</sub>.6H<sub>2</sub>O'un miktari sırasıyla 0,1 M ve 0,15 M'dır. 2,5 saat sonrasında kumaş örnekleri çıkarılmış ve distile su ile durulanmıştır (Şekil 2). Kumaş örnekleri oda sıcaklığında kurutulmuştur [12].



Şekil 2. PPy polimeri ile pamuklu kumaşın kaplanması için işlem akışı

Ayrıca aynı işlem prosedürü kullanarak PPy tozları üretilmiştir. Polimerizasyon çözeltisi filtre edilmiş, saf su ile ve metanol ile yıkanmıştır. 60°C'de 24 saat kurutulmuş ve öğütülmüştür.

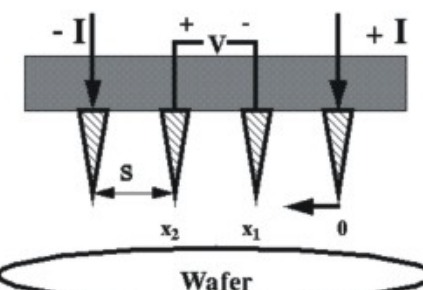
### 3. KARAKTERİZASYON

İletkenlik ölçümü Keithley 2400 sourcemeter kullanarak 4-nokta prob (4-point probe) yöntemine göre

gerçekleştirilmiştir. 4 adet eşit aralıklı prob kullanılmıştır. İki dış prob boyunca sabit akım geçirmek için sabit akım kaynağı kullanılmıştır (Şekil 3). İç kısma yerleştirilen iki prob boyunca voltaj düşüşü okunmuştur. Örneğin iletkenliği aşağıdaki formüle göre hesaplanmıştır:

$$\sigma(S/cm) = \frac{l}{dW} \times \frac{I}{V}$$

Burada  $\sigma$ , iletkenlik ölçümlüğü, l probalar arasındaki uzaklık (1 cm), d örneğin kalınlığı (örn. kumaşın kalınlığı), W probun uzunluğu (1 cm), I dış probalar boyunca geçirilen akım ve V iç probalar boyunca voltaj düşüşü değerleri göstermektedir [13].



Şekil 3. 4 prob yöntemi ile iletkenlik ölçümünün şematik olarak gösterimi [14]

Kaplanan kumaşların elektriksel ve dielektrik özellikleri Novocontrol Alpha-N yüksek çözünürlük dielektrik analizör kullanarak AC volt kullanarak (3 volt) ölçülmüştür.

Kaplanan kumaşların kalınlığı R&G Kumaş Kalınlık Ölçüm Cihazı (Model 320, James H.Heal & Co. Ltd.U.K.) kullanarak ölçülmüştür.

Kaplama işleminden önce ve sonra kumaşların kuru ağırlıkları tespit edilmiş ve külesel artış miktarları aşağıdaki formüle göre hesaplanmıştır.

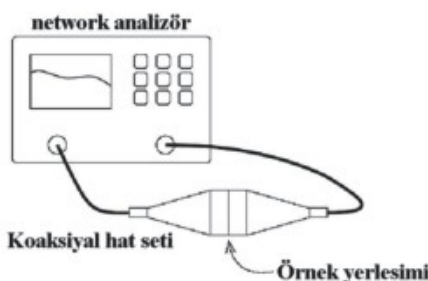
$$W_{\text{kut.art.}} (\%) = \frac{W_2 - W_1}{W_1} \times 100$$

Burada,  $W_1$  işlem gormemiş kumaşın kuru ağırlığını,  $W_2$  işlem gören kumaşın kuru ağırlığını ve  $W_{\text{kut.art.}}$  işlem gören kumaşın külesel artış değerini göstermektedir [15].

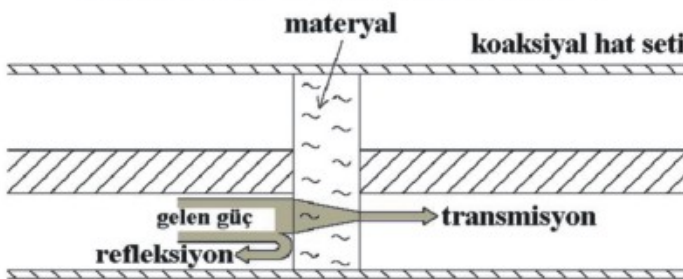
Pani ve PPy kaplanan kumaşların FTIR spektrofotometre ile (PerkinElmer Inc., Beaconsfields, UK) absorpsiyon spektrasi 4000-400 cm<sup>-1</sup> bölgesinde oda sıcaklığında ölçülmüştür.

Rigaku D Max-2200/PC X-işinleri difraktometresi (Rigaku Corp., Tokyo, Japan) kullanarak 40 kV ve 20 mA, monokromatik Cu K $\alpha$  ışımı ile, 80/dk tarama hızında 0-20 mod ve 20 tarama modunda PAni ve PPY kaplanan kumaşların ve toz örneklerinin X-işinleri paterni belirlenerek faz analizi yapılmıştır.

Kumaşların elektromanyetik parametreleri transmisyon/refleksiyon metodu ile 6-14 GHz, 5-6 GHz ve 50 MHz-4 GHz frekans bölgesinde ölçülmüştür. Network Analizör HP8720D kullanarak tüm örnekler için refleksiyon parametresi  $S_{11}$  ve transmisyon parametresi  $S_{21}$  belirlenmiştir.  $S_{11}$  ve  $S_{21}$  parametreleri (S-parametreleri) sırasıyla refleksiyon ve transmisyon katsayıları temsil etmektedir. Şekil 4 şematik olarak ölçüm düzeneğini göstermektedir. Öncelikle network analizör ve koaksiyal hat düzeneği kalibre edilmiştir. Şekil 5'de gelen güç ve network analizör tarafından ölçülen yansıyan ve geçen güç gösterilmiştir.



Şekil 4. Network analizör ve koaksiyal hat yerlesimi ile ölçüm sistemi



Şekil 5. Örnek üzerine gelen, yansıyan ve geçen güç için şematik gösterim

S-parametrelerinin analizine göre, transmitans ( $T$ ), reflektans ( $R$ ) ve absorbans ( $A$ ) aşağıdaki gibi verilebilir

$$R = \left| \frac{E_r}{E_i} \right|^2 = |S_{11}|^2 \quad (3)$$

$$T = \left| \frac{E_t}{E_i} \right|^2 = |S_{21}|^2 \quad (4)$$

$$A + T + R = 1 \quad (5)$$

Burada  $E_i$ ,  $E_r$  ve  $E_t$ ; sırasıyla gelen elektrik alanı, yansıyan elektrik alanı ve geçen elektrik alanını göstermektedir. A,

$R$  ve  $T$ ; 0 ve 1 arasında değerlere sahip olabilir.

dB olarak ifade edilen EMI SE değeri gelen ve geçen elektromanyetik dalganın gücünün oranından aşağıdaki formüle göre hesaplanır:

$$SE = 10 \log \left| \frac{P_1}{P_2} \right| = 20 \log \left| \frac{E_1}{E_2} \right| \text{ (decibels, dB)} \quad (6)$$

Burada  $P_1$ ,  $P_2$  ve  $E_1$ , sırasıyla gelen, yansıyan ve geçen gücü göstermektedir [16, 10].

Kumaşların kopma mukavemeti özellikleri Instron 4411 Tensile Tester kullanılarak ASTM D5035-90 (sökülmüş serit) standardına göre yapılmıştır [17].

Kaplanan kumaşların ve işlem görmemiş kumaşın UV-koruyuculuk özelliği Australian/New Zealand Standard AS/NZS 4399:1996'a göre Camspec M350 UV/Visible spektrofotometre kullanarak ölçülmüştür [18].

Kumaşların yıkamaya karşı renk hasıkları BS EN ISO 105-C06-A1S standardına göre Linitest plus aparatı (Atlas, Germany) kullanarak belirlenmiştir [19].

Kumaşların sürtmeye karşı renk haslığı BS EN ISO 105-X12 standardına göre krokmetre (A.A.T.C.C., Atlas Electric Devices Co., Chicago, U.S.A.) kullanarak belirlenmiştir [20].

Kumaşların ışık haslığı Atlas Xenotest Alpha (Etki Ltd. Şti., İstanbul, Türkiye) cihazı kullanılarak BS EN ISO 105-B02 standardına göre yapılmıştır [21].

## 4. SONUÇLAR VE TARTIŞMA

### 4.1 İletkenlik ölçüm sonuçları

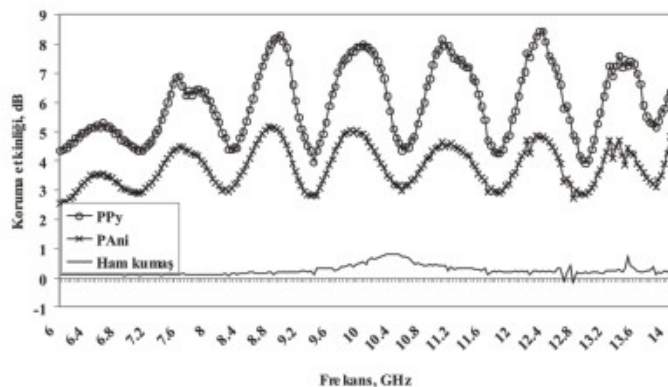
Ppy ve PAni iletken polimerleri ile kaplanan kumaşların iletkenlik, direnç, kalınlık ve külesel artış değerleri Tablo 1'de gösterilmiştir. Ham kumaş yalıtkan özellik gösterirken, PAni ve PPY ile kaplanan kumaşların iletkenlik değerleri  $10^{-2}$  S/cm mertebesine kadar yükselmiştir.

Tablo 1. PPY ve PAni iletken polimerleri ile kaplanan kumaşların iletkenlik, direnç, kalınlık ve külesel artış değerleri

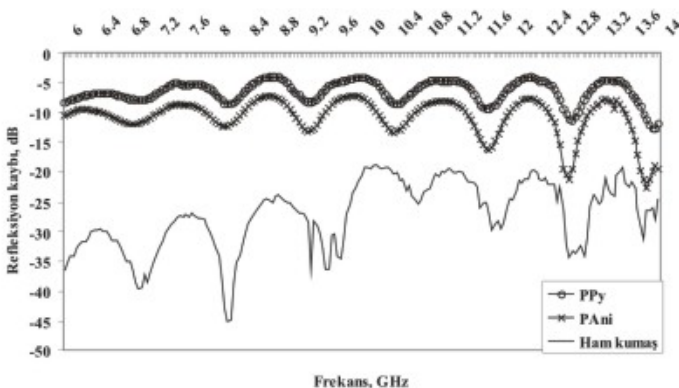
Örnek	Kalınlık, mm	İletkenlik, $\sigma$ , S/cm	Direnç, $\Omega$	Külesel artış, %
İşlemsiz kumaş	0,55	-	Aşırı direnç	-
PPY kaplanan kumaş	0,62	0,0315	512	8,3
PAni kaplanan kumaş	0,65	0,044	329,7	9,03

#### 4.2 Elektromanyetik ölçüm sonuçları

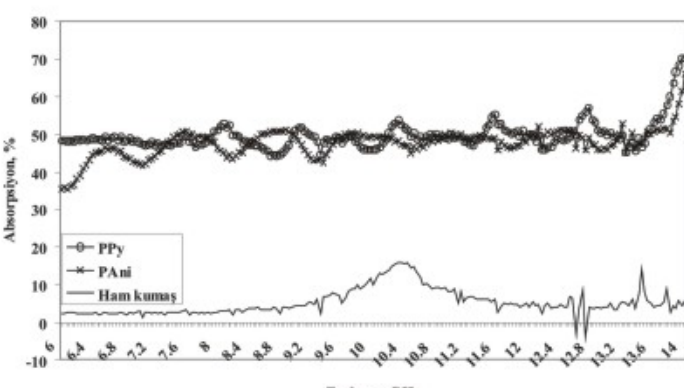
Şekil 6, 7 ve 8, PAni ve PPY kaplanan kumaşın ve ham kumaşın 6-14 GHz frekans bölgesinde sırasıyla refleksiyon kaybı, koruma etkinliği ve absorpsiyon değerlerini göstermektedir. Polipirol, polianilin ile kaplanan kumaş ve ham kumaşın ortalama koruma etkinliği değerleri 6, 3,8, 0,26 dB; ortalama refleksiyon kaybı değerleri -6,5, -27, -11 dB; ortalama absorpsiyon değerleri sırasıyla % 50,48 ve 2'dir.



Şekil 6. 6-14 GHz frekans bölgesinde PAni ve PPY kaplanan kumaşların koruma etkinliği grafiği

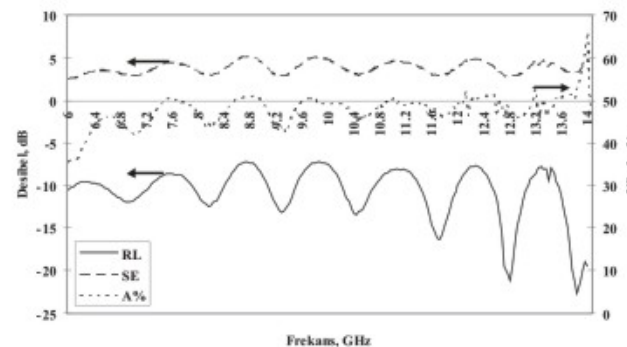


Şekil 7. 6-14 GHz frekans bölgesinde PAni ve PPY kaplanan kumaşların refleksiyon kaybı grafiği

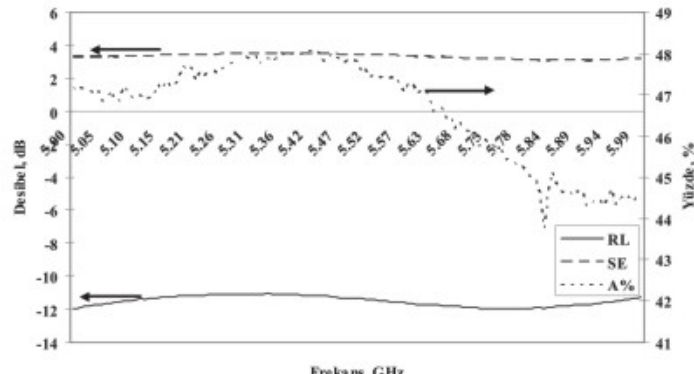


Şekil 8. 6-14 GHz frekans bölgesinde PAni ve PPY kaplanan kumaşların absorpsiyon grafiği

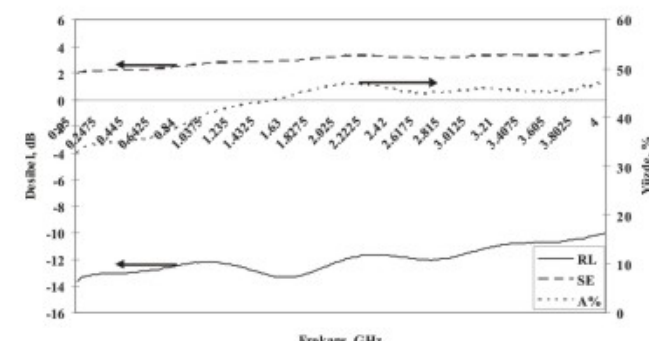
Şekil 9, 10 ve 11 PAni kaplanan kumaşların 6-14 GHz; 5-6 GHz ve 50MHz-4 GHz gibi farklı frekans aralıklarında rekleksiyon kaybı (RL), koruma etkinliği (SE) ve absorpsiyon (A) değerlerini aynı grafik üzerinde göstermektedir. 6-14 GHz bölgesinde ortalama RL, SE ve A değerleri sırasıyla -11 dB, 3,8 dB, %48; 5-6 GHz bölgesinde -2,88 dB, 12 dB, %43; 50MHz-4 GHz bölgesinde -2,86 dB, 12 dB, %42 olarak bulunmuştur. Bu sonuçlar göstermektedir ki, frekans azaldıkça koruma etkinliği artmaktadır, refleksiyon kaybı azalmaktadır (- işaretli kayıp olduğunu göstermektedir) ve absorpsiyon değerleri azalmaktadır.



Şekil 9. 6-14 GHz frekans bölgesinde PAni kaplanan kumaşların refleksiyon kaybı (RL), absorpsiyon (A%) ve koruma etkinliği (SE) grafiği



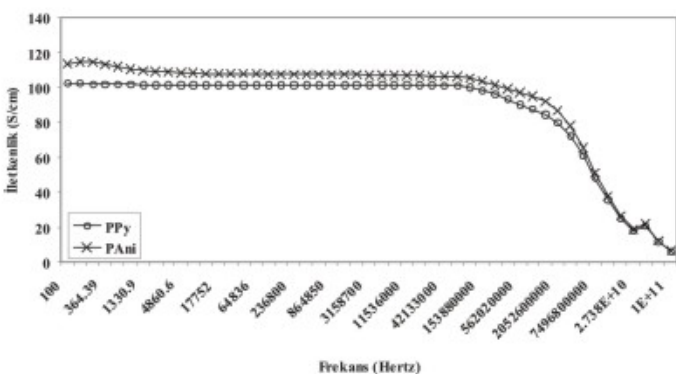
Şekil 10. 5-6 GHz frekans bölgesinde PAni kaplanan kumaşların refleksiyon kaybı (RL), absorpsiyon (A%) ve koruma etkinliği (SE) grafiği



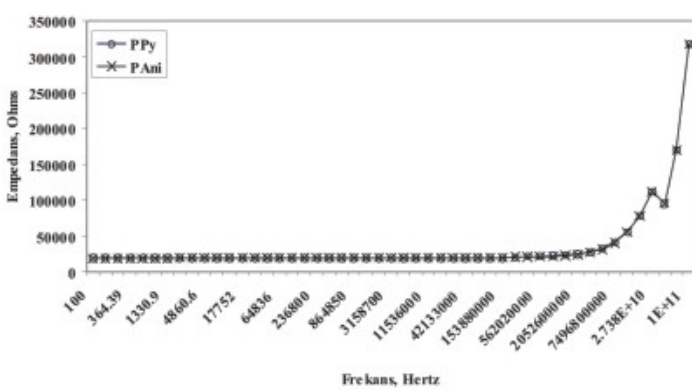
Şekil 11. 50 MHz- 4 GHz frekans bölgesinde PAni kaplanan kumaşların refleksiyon kaybı (RL), absorpsiyon (A%) ve koruma etkinliği (SE) grafiği

#### 4.3 Dielektrik ölçüm sonuçları

100 Hertz-100 GHz frekans bölgesinde PAni ve PPy kaplanan kumaşların iletkenlik, empedans ve dielektrik sabiti değerleri sırasıyla Şekil 12, 13 ve 14'te gösterilmiştir. 100 Hertz-1GHz bölgesinde iletkenlik değerleri PAni için ortalama  $10^7$  S/cm ve PPy örneği için  $100$  S/cm olarak tespit edilmiştir. Frekans artmaya devam ettikçe iletkenlik değerleri hızla azalmıştır.

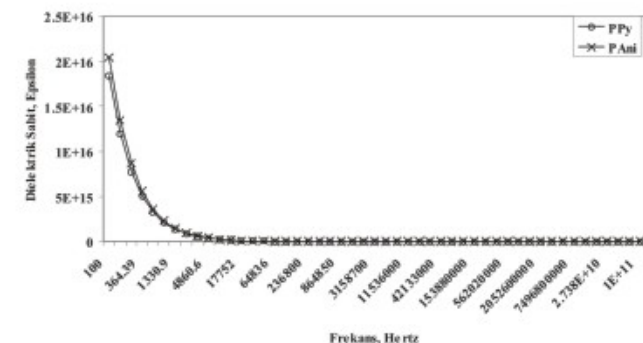


Şekil 12. 100 Hertz- 100 GHz frekans bölgesinde PAni ve PPy kaplanan kumaşların iletkenlik değerleri grafiği



Şekil 13. 100 Hertz- 100 Ghz frekans bölgesinde PAni ve PPy kaplanan kumaşların empedans değerleri grafiği

100 Hertz- 1 GHz bölgesinde empedans değerleri PAni için ortalama  $19$  k $\Omega$  ve PPy örneği için  $20$  k $\Omega$  olarak tespit edilmiştir. Frekans artmaya devam ettikçe empedans değerleri hızla artmıştır.

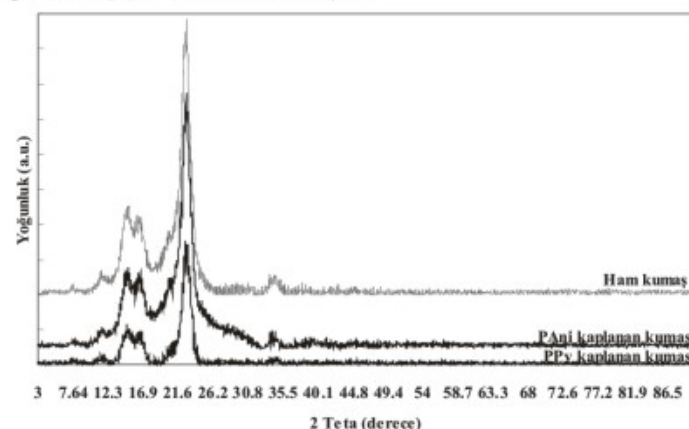


Şekil 14. 100 Hertz- 100 GHZ frekans bölgesinde PAni ve PPy kaplanan kumaşların dielektrik sabiti değerleri grafiği

100 Hertz- 100 GHz frekans bölgesinde dielektrik sabiti değerleri PAni ve PPy örneği için yaklaşık benzer özellikler göstermiştir. 100 Hertz- 1 GHz frekans bölgesinde frekans arttıkça dielektrik sabiti değerleri her iki örnek için  $10^{16}$  mertebesinden  $10^9$  mertebesine düşmüştür.

#### 4.4 XRD ile Yapı Analizi

PAni ve PPy kaplanan kumaş ve ham kumaş için XRD paterni Şekil 15'de verilmiştir.

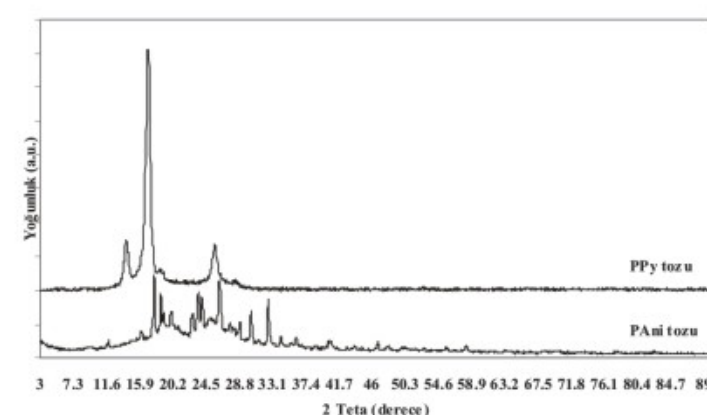


Şekil 15. PAni ve PPy kaplanan kumaş ve ham kumaş için XRD paterni

PAni özellikle 10, 15, 16, 26° civarında pikler göstermiştir. 10, 15, 16° pikleri selüloz pikleri ile çakışmıştır. Özellikle 26° piki geniş bir piktir ve PAni kaplanan kumaşın paternindeki bu geniş pik PAni kaplamalarının amorf yapısını göstermektedir. Kaplanmamış kumaşta bu pik gözlenmemiştir [22,23,24].

PPy kaplanan kumaşın pikleri selüloz pikleri ile çakışmıştır. Fakat pik yoğunluklarında azalma görülmüştür. Bu da PPy kaplamalarının kumaşa daha amorf bir yapı kazandırdığını göstermektedir.

PAni ve PPy toz örnekleri için XRD paternleri Şekil 16'de görülmektedir.



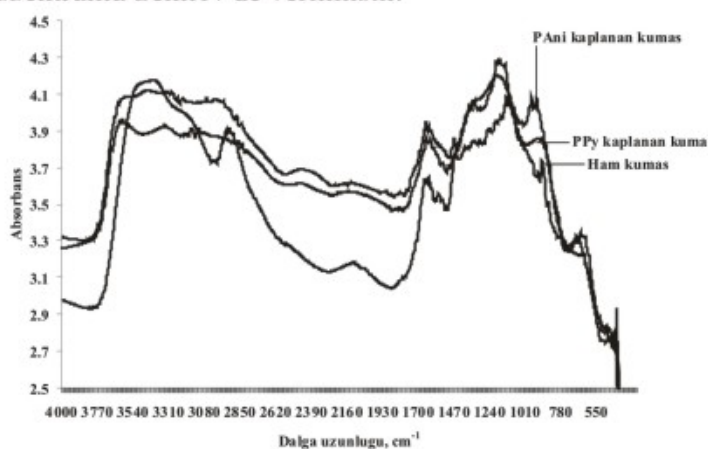
Şekil 16. PAni ve PPy toz örnekleri için XRD paterni

PAni 15, 26° civarında geniş bir pik göstermiştir. İletkenlik arttıkça piklerin keskinliği artmaktadır [22, 23]. Dolayısıyla bu çalışmada üretilen PAni tozları emeraldine tuzu formunda ve iletken formda olduğu için pikler keskindir.

PPy toz örneği 15, 17 ve 25° civarında pikler göstermiştir. Özellikle 25° civarındaki pik PPy katkısından kaynaklanmaktadır[25].

#### 4.5 FTIR spektroskopisi ile yapı analizi

PAni ve PPy kaplanan kumaşlar ve ham kumaş için FTIR spektrumu Sekil17'de verilmistir.



Sekil 17. PAni ve PPy kaplanan kumaş ve ham kumaş için FTIR spektrumu

İşlem görmemiş kumaştaki  $2918\text{ cm}^{-1}$  dalga uzunlığındaki band, selülozdaki glukoz birimlerindeki sekonder  $\text{CH}_2\text{OH}$  gruplarındaki  $\text{CH}_2$  asimetrik gerilme titreşmeleri nedeniyedir. PAni ve PPy ile kaplanan kumaşlarda ise PAni veya PPy'nin yapıya ilavesi ile sekonder  $\text{CH}_2\text{OH}$  gruplarının sayısının azalması nedeniyle bu pik ortadan kalkmış veya çok geniş bir band haline dönüştürülmüştür. Ayrıca işlem görmemiş kumaşta  $1468\text{ cm}^{-1}$ de gözlenen pik OH düzlem içi eğilme titreşmeleri;  $1454\text{ cm}^{-1}$ deki pik  $\text{CH}_2$  simetrik eğilme titreşmeleri nedeniyedir. PAni kaplanan kumaşta  $\text{CH}_2$  eğilme titreşmeleri  $1350\text{ cm}^{-1}$  gibi daha düşük dalga uzunlığında gözlenmiştir. Bunun nedeni hidrojen bağı oluşturacak olan  $\text{CH}_2\text{OH}$ 'daki OH grubunun hidrojeni ile PAni'deki klor iyonlarının mümkün etkileşiminden kaynaklanabilir. Bunun sonucu olarak PAni ve PPy'nin selüloz molekülleri ile etkileşiminin  $\text{CH}_2\text{OH}$ 'daki OH'in hidrojeni üzerinden gerçekleştiği sonucuna varılmıştır. Tüm kumaş örneklerinde adsorbe edilen su molekülleri  $1648\text{ cm}^{-1}$ de geniş bir band olarak görünür. PAni ve PPy kaplanan kumaşların bu pikinin absorbansı daha yüksektir. Bu su moleküllerinin çok daha sıkı olarak bağlandığını göstermektedir. Bunun nedeni su molekülleri tarafından

çözülebilen klor iyonlarının varlığı nedeniyle olabilir. PAni ile işlem gören kumaşlarda, PAni'nin kuinoid formunun tuz formu  $1538\text{ cm}^{-1}$ de geniş bir pik olarak gözlenmiştir. PAni'nin karakteristik benzenoid tekrar eden birimleri aynı zamanda  $1468\text{ cm}^{-1}$ de pik olarak gözlenmiştir. PAni kaplanan kumaşta elektron delokalizasyonu nedeniyle PAni'nin kuinoid birimlerinin  $\text{N}=\text{Q}=\text{N}$  gerilmeleri nedeniyle  $1148\text{ cm}^{-1}$ deki pik gözlenmiştir[11].

#### 4.6 UV geçirgenlik ölçüm sonuçları

Kaplanan kumaşların ve işlem görmemiş kumaşın UV-koruyuculuk değerleri Tablo2'de verilmiştir.

Tablo 2. AS/NZS 4399:1996 standardına göre PAni ve PPy kaplanan kumaşların ve ham kumaşın UPF, ort. UVA ve ort. UVB değerleri

İşlemsiz kumaş	UPF	Ort.UVA (%)	Ort. UVB (%)
PAni kaplanan kumaş	50+	0.0	0.0
PPy kaplanan kumaş	50+	0.1	0.1

Literatüre göre bazı boyarmaddelerin ve optik beyazlatıcı maddelerin UV koruyuculuk özelliği olduğu bilinmektedir. Renkli iletken polimer kaplamaların da UV koruyuculuk özelliğe sahip olduğu bu çalışmada gösterilmiştir.

#### 4.7 Kumaşların Renk Hasırlıkları

Kaplanan kumaşların yıkamaya karşı renk hasırlıkları, sürtmeye karşı renk hasırlıkları ve ışık hasırlıkları değerleri Tablo3'de verilmiştir.

Tablo3.Kaplanan kumaşların renk hasırlıkları değerleri

	İşik hasığı	Yaş sürdürme hasığı	Kuru sürdürme hasığı	Yıkama hasığı- Renk kırletmesi	Yıkama hasığı- Renk açılması
PPy kaplanan kumaş	6	3	3	5	3 (daha koyu)
PAni kaplanan kumaş	7	2	3	4/5	1 (mavileşme)

PAni kaplanan kumaş örneği yıkama renk hasığı testinden sonra dedoping etkisi ile löykoemeraldine formuna dönüşmuş ve yalıtkan özellik ve mavı nuans kazanmıştır. PPy kumaş örneğinin ise direnç değeri  $512\text{ }\Omega$ 'dan  $15,4\text{ k}\Omega$  değerine yükselmiştir. Yıkamada renk kırletmesi hasırlıkları ise oldukça yüksektir. Her iki kumaşın da sürtme hasırlıkları çok düşüktür.

#### 4.8 Kumaşların Mukavemet Özellikleri

Kaplanan kumaşların ve ham kumaşın kopma mukavemeti ve kopma uzaması değerleri Tablo4'te verilmiştir.

Tablo4. Kaplanan kumaşların ve ham kumaşın kopma mukavemeti ve kopma uzaması değerleri

	Kopma Mukavemeti, kgf	Kopma uzaması, %
İşlemsiz kumaş	94,23	23,71
PPy	106,8	18,39
PAni	60,47	14,85

PPy ile işlem sonrasında kumaşların mukavemet değerleri 94,23 kgf'den 106,8 kgf değerine artmıştır. PAni ile işlem sonrasında ise mukavemet değerleri 94,23 kgf'den 60,47 kgf değerine azalmıştır. Kopma uzaması değerleri ise kaplama işlemlerinden sonra düşmüştür. Özellikle PPy kaplanan kumaş örnekleri için mukavemet değerleri artarken kumaşın elastikiyetinin azaldığı sonucuna varılmıştır.

## 5.SONUÇ

Bu çalışmada PPy ve PAni iletken polimerleri ile pamuklu kumaş kimyasal oksidatif polimerizasyon yöntemi ile kaplanmıştır. PAni ve PPy kaplanan kumaşların elektromanyetik özellikleri, iletkenlik ve dielektrik özellikleri ölçülmüş ve karşılaştırılmıştır. Ham kumaş aşırı direnç gösterirken, PAni ve PPy kaplanan kumaşlar  $10^2 \text{ S/cm}$  mertebesinde iletkenlik değerleri göstermiştir. 6-14 GHz bölgesinde PAni kaplanan kumaşın ortalama %48, PPy kaplanan kumaşın ort. %50 absorpsiyon gösterdiği tespit edilmiştir. Sonuç olarak PAni ve PPy kaplanan pamuklu kumaşların iletkenlik özellikleri, dielektrik özellikleri ve elektromanyetik özellikleri bakımından benzer özellikler gösterdiği tespit edilmiştir.

## TEŞEKKÜRLER

Bu çalışma 106M391 nolu Tubitak Projesi desteğiyle gerçekleştirilmiştir.

## KAYNAKLAR

- Heeger,A.J.,MacDiarmid,A.G.,Shirakawa,H.,(2000),The Nobel Prize in Chemistry 2000, "for discovery and development of conductive polymers
- Kim, B., Koncar, V., Devaux, E., (March 2004), Electrical Properties Of Conductive Polymers: Pet–Nanocomposites' Fibres, Autex Research Journal, Vol.4, No1
- Kutanis, M. Karakısla, U. Akbulut, M. Sacak, (2007), The conductive polyaniline/poly(ethylene terephthalate) composite fabrics, Composites:PartA,38,609–614
- Phang, S.W., Tadokoro, M., Watanabe, J., Kuramoto, N., (2008), Microwave absorption behaviors of polyaniline nanocomposites containing TiO<sub>2</sub> nanoparticles, Current Applied Physics, 8, 391–394
- Roh, J.S., Chi, Y.-S., Kang, T. J., Nam, S.-W., (2008), Electromagnetic Shielding Effectiveness of Multifunctional Metal Composite Fabrics, Textile Research Journal, 78;825
- Dhawan, S.K.; Singh, N.; Venkatachalam, S., (2002), Shielding behaviour of conducting polymer-coated fabrics in X-band, W-band and radio frequency range, Synthetic Metals, 129,261–267
- Dhawan, S.K., Singh, N., Venkatachalam, S., (2002), Shielding effectiveness of conducting polyaniline coated fabrics at 101 GHz, Synthetic Metals, 125,389-393
- Marchant,S.,Jones,F.R.,Wong,T.P.C.,Wright,P.V.,(1998), Free-space micro wave characteristics of polypyrrole coated glass fibre, Synthetic Metals, 96,35-41
- Hakansson, E., Amiet, A., Kaynak, A., (2006), Electromagnetic shielding properties of polypyrrole/polyester composites in the 1–18 GHz frequency range, Synthetic Metals, 156,917–925
- Kim M.S., Kim H.K., Byun S.W., Jeong S.H., Hong Y.K., Joo J.S., Song K.T., Kim J.K., Lee C.J., Lee J.Y., (2002), PET fabric/polypyrrole composite with high electrical conductivity for EMI shielding, Synthetic Metals, 126, 233–239
- Bhat, N.V., Seshadri, D.T., Radhakrishnan, S., (2004), Preparation, Characterization, and Performance of Conductive Fabrics: Cotton+PAni, Textile Research Journal, 74(2),155-166
- Lin, T., Wang, L., Wang, X., Kaynak, A., (2005), Polymerising pyrrole on polyester textiles and controlling the conductivity through coating thickness, Thin Solid Films, 479,77-82
- Oh, K., W., Kim, S.H., Kim, E.A., (2001), Improved Surface Characteristics and the Conductivity of Polyaniline-Nylon 6 Fabrics by Plasma Treatment, Journal Applied Polymer Science, Vol.81,684-694
- http://microlab.berkeley.edu/ee143/Four-Point\_Probe/, 2007
- Onar,N.,Ebeoglugil,M.F.,Kayatekin,I.Celik,E.,(2007), Low-Temperature, Sol–Gel-Synthesized, Silver-Doped Titanium Oxide Coatings to Improve Ultraviolet-Blocking Properties for Cotton Fabrics, Journal Applied Polymer Science, Vol.106,514–525
- Hong Y.K.,Lee C.Y.,Jeong C.K.,Sim J.H.,Kim K.,Joo J., Kim M.S., Lee J.Y., Jeong S.H., Byun S.W., (2001), Electromagnetic interference shielding characteristics of fabric complexes coated with conductive polypyrrole and thermally evaporated Ag, Current Applied Physics 1, 439–442
- ASTMD5035-90 Standard Test Method for Breaking Force and Elongation of Textile Fabrics (Strip Method)
- AS/NZS 4399:1996 Australian/New Zealand Standard, Sun Protective Clothing—Evaluation and classification.
- BSEN ISO 105-C06 Textiles Tests for colour fastness Part C06: Colour fastness to domestic and commercial laundering.
- BS EN ISO 105-X12- Textiles- Tests for colour fastness-Part X12:Colour fastness to rubbing
- BSEN ISO 105-B02 –Textiles- Test for Colour Fastness-Part B02: Colour Fastness to Artificial Light: Xenon Arc Fading Lamp Test
- Lee,K.,Cho,S.,Park,S.H.,Heeger,A.J.,Lee,C-W,Lee,S-H,(2006), Metallic transport in polyaniline, Nature, Vol 441, 65-68
- Reddy, K.R., Lee, K.P., Gopalan, A.I., (2008), Self-assembly approach for the synthesis of electro-magnetic functionalized Fe<sub>3</sub>O<sub>4</sub>/polyaniline nano composites: Effect of dopant on the properties, Colloids and Surfaces A: Physicochem. Eng. Aspects, 320,49–56
- Chen, C.H., (2002), Thermal Studies of Polyaniline Doped with Dodecyl Benzene Sulfonic Acid Directly Prepared via Aqueous Dispersions, Journal of Polymer Research, 9,3,195-200
- Dey, A., De, A., De, S.K., (2005), Electrical transport and dielectric relaxation in Fe<sub>3</sub>O<sub>4</sub>-polypyrrole hybrid nano composites, Journal of Physics: Condensed Matter, 17,5895-5910